

Isolation of Bacteriophages Affecting Enterohemorrhagic *Escherichia coli* O157:H7

Forough Mokhtari¹, Azam Mokhtari^{1,2*}, Mohammadreza Mahzounieh¹, Somayeh Shahrokh Shahraki¹, Somayeh Gheisarbeigi¹

1. Department of Pathobiology, Faculty of Veterinary medicine, Shahrekord University, Shahrekord, Iran
2. Research Institute of Zoonotic Diseases, Shahrekord University, Shahrekord, Iran



[10.30699/ijmm.15.1.130](https://doi.org/10.30699/ijmm.15.1.130)



ABSTRACT

Background: *Escherichia coli* is an important pathogen and microorganism of the normal intestinal flora of humans and animals. One of the important serotypes of *E. coli* is O157: H7. Because of the excessive and arbitrary use of antibiotics, multiple drug resistance has increased against these organisms. The main problem in treating infections caused by *E. coli* is its dependence on the administration of a large number of common antibiotics and the resistance of some strains to antibiotics. Phage therapy refers to the therapeutic use of phages to eliminate bacterial infections. In the first step, it is necessary to separate and identify bacteriophages that affect the target bacteria. Therefore, the present study was performed to isolate the phage that was effective on enterohemorrhagic *E. coli* isolates.

Materials & Methods: In this study, after collection of sewage samples, bacteriophages were isolated by filtration and enrichment in an enterohemorrhagic *E. coli* overnight culture. The presence of bacteriophage was detected by plaque observation in a double layer agar and confirmed by TEM electron microscopy.

Results and Conclusion: The results of the observation with electron microscopy revealed the presence of bacteriophage with the appearance of the *Cystoviridae*, *Myoviridae* and *Podoviridae* families. Unfortunately, although the titration of phages and molecular study were not performed in the current study due to the lack of budget, we found antibacterial activity of isolated phages using plaque formation observation, and the presence of phages belonging to *Cystoviridae*, *Myoviridae* and *Podoviridae* families was confirmed by TEM microscopy. Therefore, the effective phage against O157: H7 was successfully identified, isolated, and purified.

Keywords: *Escherichia coli*, bacteriophage, enterohaemorrhagic, treatment

Received: 2020/05/23;

Accepted: 2020/11/02;

Published Online: 2021/01/10

Corresponding Information: Azam Mokhtari Department of Pathobiology, Faculty of Veterinary Medicine, Shahrekord University, Shahrekord, Iran

Email: a.mokhtari@alumni.ut.ac.ir.



Copyright © 2021, This is an original open-access article distributed under the terms of the Creative Commons Attribution-noncommercial 4.0 International License which permits copy and redistribution of the material just in noncommercial usages with proper citation.

Use your device to scan and read the article online



Mokhtari F, Mokhtari A, Mahzounieh M, Shahrokh Shahraki S, Gheisarbegi S. Isolation of bacteriophages affecting Enterohemorrhagic *Escherichia coli* O157:H7. Iran J Med Microbiol. 2021; 15 (1) :130-139

Download citation: [BibTeX](#) | [RIS](#) | [EndNote](#) | [Medlars](#) | [ProCite](#) | [Reference Manager](#) | [RefWorks](#)

Send citation to:  [Mendeley](#)  [Zotero](#)  [RefWorks](#)

Introduction

Escherichia coli O157: H7 (*E. coli*) is an important dietary pathogen that causes dysentery and sometimes hemolytic-uremic syndrome (HUS) (1). This human-animal common human pathogen can remain in food and environments and produce biofilms.

Consumption of contaminated foods such as beef, dairy products, ready-made salad, vegetables, and fruits are some of the ways this pathogen is transmitted (3-7). Cow is the primary reservoir of O157 and is a seemingly healthy carrier of this

bacterium in the gastrointestinal tract. Cow excretes O157 from its feces, which is the most important risk factor for the contamination of the carcass of this animal (6, 8). Bacteriophage is a type of virus hosted by bacteria. Twort in 1915 and d'Herelle in 1917 discovered bacteriophage and so it has been an option used to control and eliminate bacteria ever since (9). Due to public health concerns about the emergence and increase in antibiotic-resistant bacteria, the use of bacteriophages in the food production and processing industry and medicine has been very welcomed (9-12). Given the high cost of the pharmaceutical industry from discovering new antibiotics, it is essential to develop an alternative treatment regimen that is easy, inexpensive, affordable, robust, and with few side effects to reduce infectious diseases (13, 14).

Studies have shown that phage therapy is successful in the biological control of pathogenic strains of *E. coli* (18-15) and is superior to other methods because of reproducibility. Unlike antibiotics, when the number of pathogens increases, their specificity, and function can improve. Admittedly, the disadvantage of phage therapy for controlling intracellular endotoxin-producing bacteria is that we may experience an excessive secretion of toxins after the bacteria have died and their walls have been ruptured (17).

Table 1. Specifications of primers used for genomic approval of *Escherichia coli* (ATCC: 35218)

Target gene	Primer sequence	Amplicon Size	Reference
stx2	Forward: TTA ACC ACA CCC CAC CGG GCA GT Reverse: GGA TAT TCT CCC CAC TCT GAC ACC	524	Pollard, Johnson, Tyler, and Rozee (1990) (24)

Sampling and Preparation of Sewage

The sampling was conducted via a sterile glass bottle; and sewage samples were taken from a refinery in Chaharmahal and Bakhtiari province. Then the samples were transferred to the laboratory and centrifuged at 8000g for 10 minutes. Finally the supernatant was filtered by sterile 0.2 µm Minisart filters (Sigma- Aldrich, Cat. No.: 16534K).

Preparation of Bacteria and Adding Sewage

At first, one milliliter of overnight bacterial culture medium was added to 20 milliliters of BHI liquid culture medium, and the suspension was incubated for 3 hours at 37°C. Then, 20 milliliters of filtered sewage were added to this suspension and incubated at 37°C for 24 hours. Afterwards, it was centrifuged for 10 minutes at 8000 g. Finally, the supernatant was filtered through a 0.45 µm sterile syringe filter (Sigma- Aldrich, Cat. No.: CLS431225) (24).

Phage Isolation

Bacteria were grown in 20 mL of BHI medium and incubated for 4h at 37°C. Then, 20 mL of the filtered

Bacteriophage is a new and suitable option to reduce the level of *E. coli* O157: H7. A review of previous works has shown that *E. coli* O157: H7 levels decreased in tomatoes, spinach, beef, and meat surfaces after phage therapy (1, 19). Another study has shown that bacteriophage has a reducing effect on the amount of *E. coli* O157: H7 in cooked and raw beef (20, 21). It is noteworthy that the results of another study identified podophage CA933P as a suitable solution for the removal of enterohemorrhagic *E. coli* (22).

Therefore, in the current research, we tried to isolate of *E. coli* O157:H7 bacteriophages from sewage. The results, presenting the isolated phage, can be utilized in developing biocontrol agents against *E. coli* contamination.

Materials and Methods

Bacteria

E. coli O157:H7 (ATCC: 35218) prepared from microbial collection of Pasteur Institute of Iran and kept in the microbiology laboratory. It was confirmed as *E. coli* O157:H7 by PCR assay for stx2 O157:H7 detection. Genomic confirmation was performed using the primers listed in Table 1(23).

supernatant of the sewage culture in BHI whose preparation steps were added to the bacteria culture and incubated for 24 h at 37°C. After Centrifuge for 10 minutes at 8000 g, the supernatant were filtered through a 0.2 µm syringe filters (Sigma- Aldrich, Cat. No.: CLS431229). Phage isolation was performed using the double agar method. First, 9 mL semi-solid BHI (containing 0.7% agar) was placed into tubes and sterilized. When the temperature of the semisolid medium reached to about 45°C, 0.1 mL of overnight cultured and filtered bacteria was added to it and spread throughout the culture medium. This culture medium was then added to a solid and sterile BHI medium (containing 1.5% agar) to form a two-layer culture. When the agar was tightened, 20 µL of the filtered sewage was placed in the center of the culture medium and incubated for 24 hours at 37°C (24).

Electron Microscopy

The phage suspension was centrifuged for 90 minutes at 20000g. The supernatant was then slowly withdrawn from the tube and the pellet adhered to the tube wall was dissolved in 50 mL of Phage buffer and again centrifuged as described above. After centrifuge, the supernatant

solution was removed and the pellet was dissolved in 25 mL of Phage buffer. For the coloring of the phages, 10 μ L of the suspension was transferred to a carbon-treated copper grid (400 Mesh) and placed for 210 seconds in this mode. Then, the grid was then placed in the room temperature for 20 seconds. After that, 20 μ L of uranium acetate was poured onto the grid and after 160 seconds. Eventually, the excess uranium acetate was removed gently using a drying paper, and the grid was left in room temperature for 30 minutes to be completely dried (25).

Results and Discussion

In the current study, for the confirmation of O157:H7, the presence of stx2 fragment of O157:H7 was detected using PCR test. Positive PCR product and positive control sample were in the size of 524 bp, while no bands were detected for negative control after electrophoresis in 1% agarose gel (Figure 1).

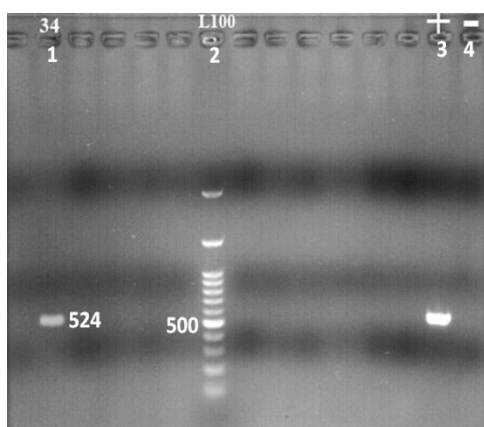


Figure 1. Electrophoresis gel image of *E. coli* O157: H7 PCR product

1: positive sample for stx2 (524 bp), 2: 100 bp leader, 3: positive control (524 bp), 4: Negative control

To detect the plaque formation, lytic bacteriophages were isolated after the inoculation of the sewage into double layer agar, and the phage plaques were completely formed in the plates. These plaques indicated that these phages had lytic effects on *E. coli* O157: H7 (Figure 2).

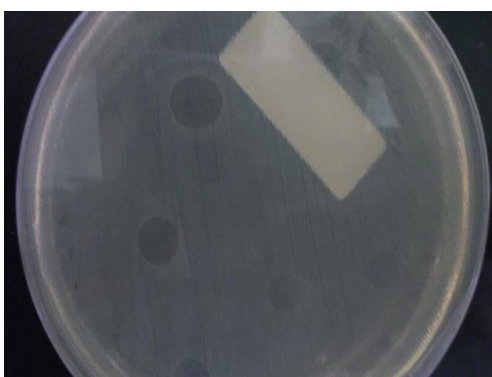


Figure 2. Phage plaques on culture medium

In the images taken by TEM electron microscopy, due to the morphological features, the isolated phages belonged to the Podoviridae, Myoviridae, and Cystiviridae families (Figures 3-5). The podoviridae have symmetrical heads and non-retractable tails. Members of the myoviride family have relatively high symmetrical head and tail contraction, and cystoviride members have spherical heads and contraction tails.

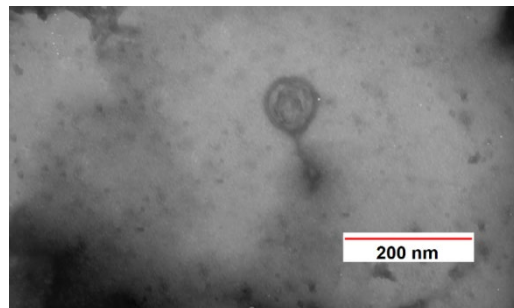


Figure 3. Electronic microscope image of phage belonging to the Cystoviridae

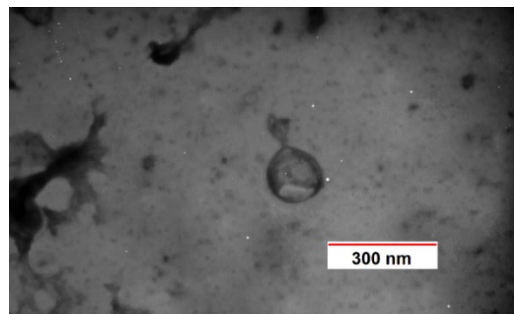


Figure 4. Electronic microscope image of phage belonging to the Podoviridae

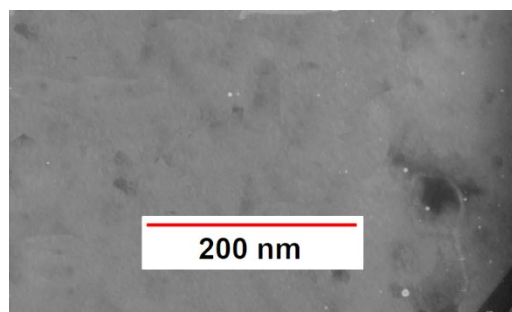


Figure 5. Electronic microscope image of phage belonging to the Myoviridae

Therefore, in the current study, using TEM microscopy observation, phages against *E. coli* O157:H7 belonging to the Podoviridae, Myoviridae and Cystiviridae families isolated from the liquid sewage samples were taken from a refinery in Chaharmahal and Bakhtiari province, Iran. The basis of the diagnosis in the present study was the shape and symmetry of the phages, which, of course, must be confirmed by other molecular methods. In the previous studies, *E. coli* phages have been isolated from different sources. For example, Jurczak-Kurek *et al.* (2016) detected 60 infecting *E. coli* bacteriophages from urban sewage. They found the phages belonging to Siphoviridae and Podoviridae families, using virion and plaque morphology

evaluation, propagation temperature range and thermal inactivation conditions and the effects of the osmotic shock, high and low pH and detergent or organic solvents, and finally genomic analyses (25). In the present study, due to lack of budget, we only performed virion and plaque morphology evaluation that should be confirmed with more tests.

In another study, Askora *et al.* (2015) identified an effective lytic bacteriophage against a number of enthaemorrhagic and enteropathogenic *Escherichia coli* strains. They named the isolated phage as ϕ ZE1. It was confirmed that the phage belonged to family Siphoviridae using electron microscopy and produced lysis on four *E. coli* strains. Also, the resistance to pH, heat, and chloroform was evaluated, and genomic analysis of ϕ ZE1 phage was performed (26). In the present study, similar to the study of Askora *et al.*, the initial basis for the diagnosis of phage was based on the electron microscopy.

Jamal *et al.* (2015) isolated and characterized a phage belonging to Myoviridae that was effective on antibiotic resistant *Escherichia coli* strains. In their study, the phage morphology was identified using TE microscopy the same as what we performed in the current research. Furthermore, they described high levels of resistance of MJ1 to heat and pH change (27).

The sufficient therapeutic effect of phages has been established in many studies. For example, Periasamy and Sundaram (2013) applied bacteriophages for pathogen removal from wastewater. In their study, *E. coli* specific phage was isolated, and its effective titer was standardized. (24). Although, the titration of phages were not performed in the current study, we found antibacterial activity of isolated phages using plaque formation observation.

In another study, Sadekuzzaman *et al.* (2017) reduced *E. coli* O157:H7 in biofilms by bacteriophage BPECO 19. The phage treatment performed by Sadekuzzaman *et al.* decreased *E. coli* viability (2). Phage treatment, which was

used in this study, reduced the survival of O157: h7. With plaque formation test, we found antibacterial activity of isolated phages against *E. coli* O157:H7.

Arthur *et al.* (2017) used bacteriophage to reduce the bacterial population in the skin and carcasses of cows found in beef processing plants. The results showed that phage did not significantly reduce *E. coli* O157: H7 during processing (28). In another work, Seo *et al.* (2016) inhibited the growth of O157:H7 in beef, pork, and chicken meat by BPECO19 phage (29).

Overall, due to the increasing threat imposed by multidrug resistance, it is necessary to search for novel antimicrobials. There is a growing need for alternative agents of antibiotics and conventional drugs for the prevention and treatment in humans and animals. Exploring bacteriophages as biological control agents can help control antibiotic resistant pathogens. In addition, bacteriophage may apply in pathogen detection and biopreservation. In the present study, *E. coli* O157: H7 infecting phages were isolated and were available for complementary studies assaying the biological aspects of isolated phages and their in vivo and clinical applications. In addition, further studies can be helpful to use the potential for therapeutic potential and evaluate isolated phages for virulence factors and their ability to transmit genes.

Conclusion

Overall, in the current study, *E. coli* O157:H7 phages belonging to the Podoviridae, Myoviridae and Cystiviridae families were isolated from liquid sewage samples and are available for the future studies.

Acknowledgment

This work was supported by grants from Shahrekord University (Grant number: 98GRD30M1801)

O157:H7 باکتریوفاژهای موثر علیه باکتری اشرسیا کلی همورازیک

فروغ مختاری^۱، اعظم مختاری^{۱،۲*}، محمد رضا محزوونیه^۱، سمیه شاهرخ شهرکی^۱، سمیه قیصر بیگی^۱

۱. گروه پاتوبیولوژی، دانشکده دامپزشکی، دانشگاه شهرکرد، شهرکرد، ایران

۲. پژوهشکده بیماری‌های مشترک بین دام و انسان، دانشگاه شهرکرد، شهرکرد، ایران

چکیده

زمینه و هدف: اشرسیا کلی به عنوان یکی از مهم‌ترین و شایع‌ترین پاتوژن‌ها و میکروگانیسم‌های فلور نرمال روده انسان و حیوانات مطرح است. یکی از سروتایپ‌های مهم اشرسیا کلی انتروهمورازیک O157:H7 است. به دلیل مصرف بیش از حد و خودسرانه آنتی‌بیوتیک‌ها، مقاومت‌های دارویی چندگانه در مورد این ارگانیسم‌ها افزایش یافته است. مشکل اصلی در درمان عفونت‌های ناشی از اشرسیا کلی وابسته بودن درمان آن به تجویز تعداد زیادی از آنتی‌بیوتیک‌های رایج و نیز مقاوم بودن تعدادی از سویه‌ها به آنتی‌بیوتیک است. فاژ‌درمانی، استفاده از فاژها با اهداف درمانی برای از بین بدن عفونت‌های باکتریایی است و در اولین گام جداسازی و شناسایی باکتریوفاژهای موثر بر باکتری مورد نظر ضروری است.

روش کار: مطالعه حاضر با هدف جداسازی فاژ موثر بر اشرسیا کلی O157:H7 انجام شد.

مواد و روش کار: در این مطالعه پس از اخذ نمونه فاضلاب، باکتریوفاژها به طریق فیلتراسیون و غنی‌سازی در یک کشت شبانه اشرسیا کلی O157:H7 جدا شدند. حضور باکتریوفاژ با استفاده از مشاهده پلاک در آگار دولایه تشخیص داده شد.

نتایج و بحث: نتایج مشاهده با میکروسکوپ الکترونی حضور باکتریوفاژهایی با مشخصات ظاهری خانواده‌های سیستوپریده، مایوپریده و پودوپریده را نشان داد. در مطالعه حاضر، باوجودی که متأسفانه به دلیل کمبود بودجه تیتراسیون فاژها و مطالعه مولکولی انجام نشده است، ما با استفاده از مشاهدات تشكیل پلاک، فعالیت ضدباکتریایی فاژهای جدا شده را مشاهده کردیم و وجود فاژهای متعلق به خانواده‌های Cystoviridae، Myoviridae و Podoviridae توسعه میکروسکوپ TEM تأیید شد. بنابراین فاژ مؤثر در برابر O157:H7 با موفقیت شناسایی، جداسازی و خالص شد.

کلید واژه‌ها: اشرسیا کلی، باکتریوفاژ، O157:H7، درمان.

کپی‌رایت © مجله میکروب‌شناسی پزشکی ایران: دسترسی آزاد؛ کپی برداری، توزیع و نشر برای استفاده غیرتجاری با ذکر منبع آزاد است.

اطلاعات مقاله

تاریخچه مقاله

دریافت: ۱۳۹۹/۰۳/۰۳

پذیرش: ۱۳۹۹/۰۸/۱۲

انتشار آنلاین: ۱۳۹۹/۱۰/۲۱

موضوع: ویروس شناسی پزشکی

نویسنده مسئول:

اعظم مختاری^۱

گروه پاتوبیولوژی، دانشکده دامپزشکی، دانشگاه شهرکرد، شهرکرد، ایران

ایمیل:

a.mokhtari@alumni.ut.ac.ir

مقدمه

باکتریوفاژهای ویروس‌هایی هستند که باعث لیز باکتری‌های میزبان می‌شوند. از زمان کشف آنها توسط Twort در ۱۹۱۵ و d'Herelle در ۱۹۱۷، باکتریوفاژ برای کنترل باکتری‌ها مورد بهره‌برداری قرار گرفته است (۹). با توجه به نگرانی بهداشت عمومی در مورد باکتری‌های مقاوم به آنتی‌بیوتیک، استفاده از باکتریوفاژهای برای کنترل باکتری‌های بیماری‌زا مورد توجه بیشتر صنایع غذایی و علوم پزشکی قرار گرفته است (۹-۱۲). نظر به هزینه بالا و دست کشیدن صنعت داروسازی از کشف آنتی‌بیوتیک‌های جدید، توسعه رژیم درمانی جایگزین به نحوی که ارزان، آسان، در دسترس، بسیار قوی و با حداقل عوارض جانبی برای کاهش بیماری‌های عفونی باشد، ضروری است (۱۴، ۱۳).

اشرسیا کلی (*E. coli*) O157: H7 یک عامل بیماری‌زای مهم غذایی است که باعث اسهال خونی و گاهی سندرم هموگلوبلین‌آورمیک (HUS) می‌شود (۱). این پاتوژن انسانی مشترک انسان و دام می‌تواند در غذا و محیط‌های مربوط به غذا باقی بماند و متعاقباً بیوفیلم تولید کند O157: H7 از طریق مصرف غذاهای آلوده مانند گوشت گاو و لبنیات، سبزیجات سالاد آماده، سبزیجات، و میوه‌ها منتقل می‌شود (۳-۷). گاو مخزن اولیه O157 است و حاملان بدون علامت این باکتری در دستگاه گوارش به شمار می‌رود. گاو حامل O157 را از مدفوع خود دفع می‌کند، که یک عامل خطر عمده در آلودگی گوشت‌های تولیدشده از این حیوانات است (۶، ۸).

کاندیدای امیدوار کننده‌ای برای کنترل podophage CA933P بیولوژیک *E. coli* انتروهموراژیک است (۲۲).

بنابراین، در این مطالعه، ما سعی کردیم جداسازی *E. coli* O157: باکتریوفاژ‌های H7 از فاضلاب انجام شود و نتایج نشان داد فاز جدا شده می‌تواند در توسعه عوامل کنترل بیولوژیکی در برابر آلدگی *E. coli* استفاده گردد.

مواد و روش‌ها

جمع آوری باکتری

استیتو پاستور ایران تهیه و در آزمایشگاه میکروب‌بیولوژی نگهداری شد. برای تایید سویه *E. coli* O157: H7 از روش PCR برای تشخیص *stx2* استفاده و تأیید ژنومی با استفاده از آغازگرهای ذکر شده در جدول ۱ انجام شد (۲۳).

ثابت شده است که فاژدرمانی در کنترل بیولوژیکی *E. coli* بیماری‌زا کارآمد است (۱۸-۱۵) و مزیت استفاده از یک ماده درمانی خودتکرارشدنی را دارد و برخلاف آنتی‌بیوتیک‌ها، از ویژگی خاص بالا و افزایش فعالیت در زمانی که تعداد پاتوژن‌ها افزایش پیدا می‌کند، برخوردار است. با این وجود، استفاده از فاز لیتیک برای از بین بردن باکتری‌های واجد اندوتوکسین داخل سلولی، این ضرر را دارد که در اثر لیز باکتری، انفجار ترشح سموم اتفاق بیفتند (۱۷).

باکتریوفاژ به عنوان یک مداخله کننده ضد میکروبی جدید برای کاهش سطح *E. coli* O157: H7 پیشنهاد شده است. مطالعات قبلی اثر مهاری کوکتل‌های باکتریوفاژ را روی *E. coli* O157: H7 بر روی سطوح در گوجه فرنگی، اسفناج، گوشت گاو و گوشت نشان داده است (۱۹). علاوه بر این، نشان داده شده است که *E. coli* O157: H7 در گوشت گاو پخته و خام با درمان باکتریوفاژ کاهش می‌یابد (۲۰، ۲۱). به علاوه، ثابت شد که

جدول ۱. مشخصات پرایمرهای مورد استفاده برای تأیید ژنومی اشرشیاکلی (ATCC: 35218)

منبع	اندازه امپلیکون	توالی پرایمر	زن هدف
Pollard, Johnson, Tyler, and Rozee (1990) (24)	524	Forward: TTA ACC ACA CCC CAC CGG GCA GT Reverse: GGA TAT TCT CCC CAC TCT GAC ACC	stx2

جداسازی فاز

باکتری‌ها در ۲۰ میلی‌لیتر محیط BHI رشد داده شدند و به مدت ۴ ساعت در دمای ۳۷ درجه سلسیوس انکوبه گردیدند. سپس ۲۰ میلی‌لیتر از ماده اضافی فیلتر شده فاضلاب در BHI که مراحل آماده سازی آن در قسمت قبلی شرح داده شد، به کشت باکتری اضافه شد و به مدت ۲۴ ساعت در دمای ۳۷ درجه سلسیوس انکوبه گردید. پس از سانتریفیوژ به مدت ۱۰ دقیقه در ۸۰۰۰ مایع رویی از طریق فیلترهای سرنگ ۰/۲ میکرومتر فیلتر شد (Sigma-Aldrich Cat. No.: CLS431229). جداسازی فاز با استفاده از روش آگار دولایه انجام شد. ابتدا ۹ میلی‌لیتر BHI نیمه جامد (حاوی ۰/۷ درصد آگار) در لوله‌ها قرار داده و استریل شد. هنگامی که دمای محیط نیمه جامد به حدود ۴۵ درجه سلسیوس رسید، ۰.۱ میلی‌لیتر باکتری کشت شبانه شده و فیلتر شده به آن اضافه شد و در محیط کشت گسترش یافت. سپس این محیط کشت به یک محیط جامد و استریل BHI (حاوی ۱/۵ درصد آگار) اضافه شد تا یک کشت دو لایه ایجاد شود. وقتی آگار سفت شد، ۲۰ میکرولیتر از فاضلاب فیلتر شده در مرکز محیط کشت قرار گرفت و به مدت ۲۴ ساعت در دمای ۳۷ درجه سلسیوس انکوبه شد (۲۴).

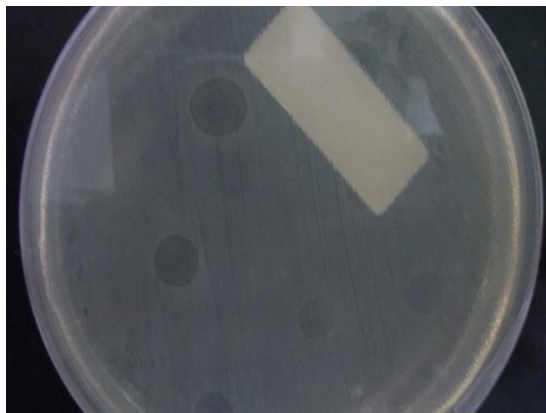
نمونه برداری و آماده سازی فاضلاب

نمونه‌گیری با استفاده از یک بطری شیشه‌ای استریل انجام شد و نمونه‌های فاضلاب از یک تصفیه خانه در استان چهارمحال و بختیاری گرفته شد. سپس نمونه‌ها به آزمایشگاه منتقل و در ۸۰۰ به مدت ۱۰ دقیقه سانتریفیوژ شدند، سپس مایع رویی توسط فیلترهای استریل ۰.۲ میکرومتر Minisart فیلتر شد (سیگما-آلدrijg، شماره کاتالوگ: K165۳۴).

تهیه باکتری و افزودن فاضلاب

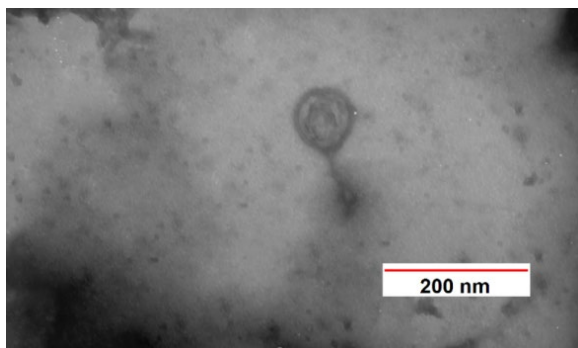
در ابتدا، یک میلی‌لیتر محیط کشت باکتریایی شبانه به ۲۰ میلی‌لیتر محیط کشت مایع BHI اضافه شد و سوسپانسیون به مدت ۳ ساعت در دمای ۳۷ درجه سلسیوس انکوبه شد سپس ۲۰ میلی‌لیتر فاضلاب فیلتر شده به این سوسپانسیون اضافه و در دمای ۳۷ درجه سلسیوس به مدت ۲۴ ساعت انکوبه گردید. پس از آن، به مدت ۱۰ دقیقه در ۸۰۰۰ سانتریفیوژ شد. مایع رویی از طریق فیلتر سرنگ استریل ۰/۴۵ میکرومتر فیلتر شد (سیگما-آلدrijg، شماره کاتالوگ: CLS431225).

روی H7: *E. coli* O157: دارند (شکل ۲).

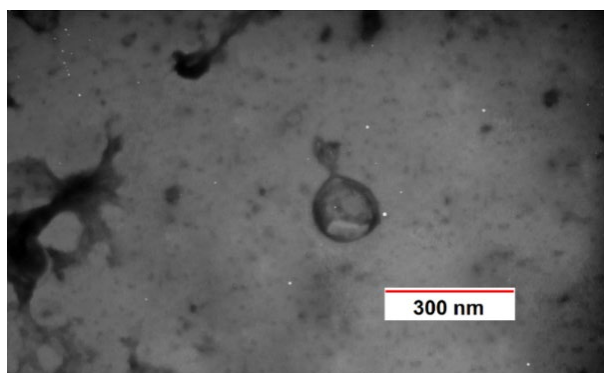


شکل ۲. پلاک فاژ در محیط کشت

در تصاویر گرفته شده توسط میکروسکوپ الکترونی TEM به دلیل ویژگی‌های مورفولوژیک، به نظر می‌رسید فاژهای جدا شده به خانواده Myoviridae و Podoviridae تعلق دارند (شکل‌های ۳-۵). podoviridae دارای سر متقارن و دم غیر قابل انقباض است. اعضای خانواده myoviridae سر متقارن و دم قابل انقباض نسبتاً بالایی دارند و اعضای سیستوویریده دارای سر کروی و دم انقباضی هستند.



شکل ۳. تصویر میکروسکوپ الکترونیکی فاژ متعلق به Cystoviridae



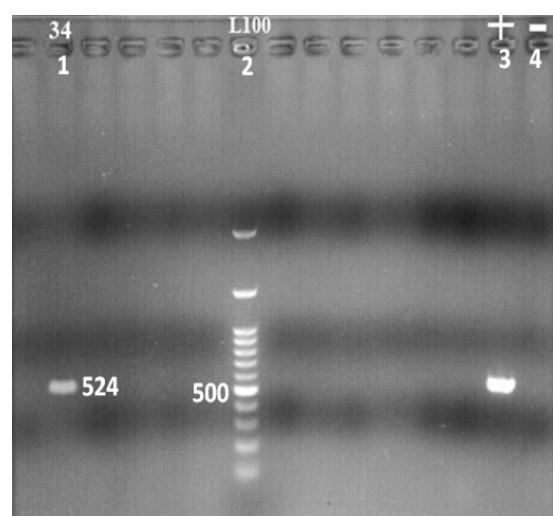
شکل ۴. تصویر میکروسکوپ الکترونیکی فاژ متعلق به Podoviridae

میکروسکوپ الکترونی

تعلیق فاژ به مدت ۹۰ دقیقه در $20000 \times g$ سانتریفیوژ شد. سپس مایع رویی به آرامی از لوله خارج شده و پلت چسبیده به دیواره لوله در ۵۰ میلی‌لیتر بافر فاژ حل و دوباره با شرایط ذکر شده سانتریفیوژ شد. پس از سانتریفیوژ، محلول رویی برداشته شد و رسوب در ۲۵ میلی‌لیتر بافر فاژ حل شد. برای رنگ‌آمیزی فاژها، ۱۰ میکرولیتر سوپانسیون به یک شبکه مسی ترشیت شده با کربن (۴۰۰ مش) منتقل شده و ۲۱۰ ثانیه در این حالت قرار گرفت. سپس شبکه به مدت ۲۰ ثانیه در دمای اتاق قرار گرفت. سپس، ۲۰ میکرولیتر استات اورانیوم روی شبکه ریخته شد و پس از ۱۶۰ ثانیه، استات اورانیوم اضافی به آرامی با استفاده از یک کاغذ خشک کن برداشته شد و شبکه به مدت ۳۰ دقیقه در دمای اتاق باقی ماند تا کاملاً خشک شود (۲۵).

نتایج و بحث

در مطالعه حاضر، برای تأیید O157: H7، وجود قطعه stx2 از H7 با استفاده از تست PCR تشخیص داده شد. محصول PCR مثبت و نمونه شاهد مثبت در اندازه ۵۲۴ جفت باز بود، در حالی که بعد از الکتروفورز در ژل آگارز ۱٪ هیچ باندی برای کنترل منفی تشخیص داده نشد (شکل ۱).



شکل ۱. تصویر ژل الکتروفورز محصول H7 PCR *E. coli* O157:

۱: نمونه مثبت برای stx2 (۵۲۴ جفت باز)، ۲: لدر ۱۰۰ جفت باز، ۳: کنترل مثبت (۵۲۴ جفت باز)، ۴: کنترل منفی برای تشخیص تشکیل پلاک، پس از تلقیح فاضلاب به آگار دو لایه، باکتریوفاژهای لیتیک جدا شده و پلاک فاژ به طور کامل در پلیت‌ها تشکیل شد. این پلاک‌ها نشان می‌داد که این فاژها اثرات لیتیکی بر

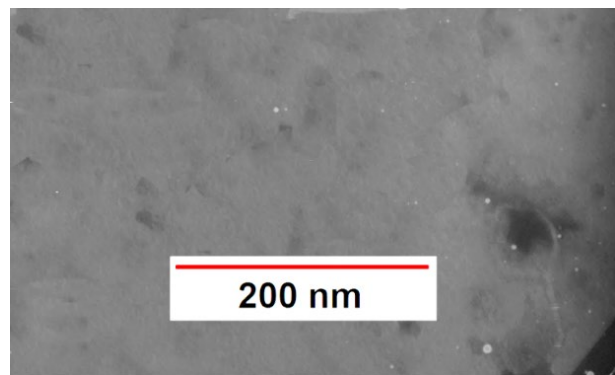
مقاوم در برابر چند دارو جداسازی و شناسایی کردند. در مطالعه آنها، مورفولوژی فائز توسط میکروسکوپ الکترونی عبوری درست مشابه تحقیق حاضر انجام شد. علاوه بر این، Jamal و همکاران طیف گسترهای از پایداری pH MJ1 به گرمای MJ1 نشان دادند (۲۷).

اثر درمانی کارآمد فاژها در بسیاری از مطالعات ثابت شده است. به عنوان مثال، Periasamy و Sundaram (۲۰۱۳) برای حذف پاتوژن از فاضلاب از باکتریوفاژ استفاده کردند. در مطالعه آنها، فائز اختصاصی *E. coli* جدا شده و جمعیت فائز مورد نیاز برای از بین بردن موثر *E. coli* به صورت 10^4 pfu/mL لیزات استاندارد شد (۲۴). در مطالعه حاضر، با وجودی که متسافنه تیتراسیون فائز انجام نشد، اما با استفاده از مشاهده تشکیل پلاک فعالیت ضد باکتری فاژهای جدا شده مشاهده گردید.

در تحقیق دیگری، Sadekuzzaman و همکاران (۲۰۱۷) اشتباهی کلی H7: O157 را در بیوفیلم با استفاده از باکتریوفاژ BPECO 19 کاهش داد. درمان فائز انجام شده توسط آنها باعث کاهش زنده ماندن سلولها به اندازه $\log \text{CFU/cm}^2$ در بیوفیلم رشدیافتہ روی کاهو شد (۲). سطوح غیر زنده و بیوتیک در دماهای مختلف برای سنجش کاهش فیلم بیولوژیکی طراحی شد. در مطالعه حاضر با آزمایش تشکیل پلاک، فعالیت ضد باکتری فاژهای جدا شده در برابر اشتباهی کلی H7: O157 مشاهده شد.

Arthur و همکاران (۲۰۱۷) برای کاهش شیوع اشتباهی کلی O157: H7، باکتریوفاژ را برای تیمار سطح و لاشه گاوهای موجود در رستوران‌های گوشت گاو ارزیابی کردند. نتایج به دست آمده از آزمایش‌های آنها نشان داد که تیمار پوست گاو با باکتریوفاژها قبل از فرآوری، کاهش قابل توجهی از *E. coli* O157: H7 در پوست گاو یا لاشه گوشت گاو در طی فرآوری ایجاد نمی‌کند (۲۸). در کار دیگری، Seo و همکاران (۲۰۱۶) رشد *Escherichia coli* O157: H7 را در گوشت گاو، گوشت خوک و گوشت مرغ با استفاده از باکتریوفاژ BPECO19 (۲۹) مهار کردند.

به طور کلی، با توجه به تهدید فزاینده ناشی از مقاومت به چند دارو، جستجوی داروهای ضد میکروبی جدید ضروری است. نیاز روزافزونی به عوامل جایگزین آنتی‌بیوتیک و داروهای معمولی برای پیشگیری و درمان در انسان و حیوانات وجود دارد. بررسی باکتریوفاژها به عنوان عوامل کنترل بیولوژیکی می‌تواند به کنترل عوامل بیماری‌زا مقاوم در برابر آنتی‌بیوتیک کمک کند. علاوه بر این، باکتریوفاژ ممکن است در تشخیص و حفظ زیست پاتوژن *E. coli* O157: H7 اعمال شود. در مطالعه حاضر، فاژهای مؤثر بر



شکل ۵. تصویر میکروسکوپ الکترونیکی فائز متعلق به Myoviridae

بنابراین، در مطالعه حاضر، با استفاده از مشاهده میکروسکوپ TEM، فاژهای ضد *E. coli* O157: H7 از Cystiviridae و Myoviridae از خانواده‌های Podoviridae بازگشایی شد. اساس تشخیص در مطالعه حاضر شکل اختیاری، ایران گرفته شد. اساس تشخیص در مطالعه حاضر شکل و تقارن فاژها بود که البته باید توسط سایر روش‌های مولکولی تأیید شود. در مطالعات قبلی، فاژهای *E. coli* از منابع مختلف جدا شده اند. به عنوان مثال، Jurczak-Kurek و همکاران (۲۰۱۶) باکتریوفاژ ضد اشتباهی کلی را از فاضلاب شهری شناسایی کردند. محققان با استفاده از ارزیابی مورفولوژی و بیوس و پلاک، دامنه دمای انتشار و شرایط غیر فعال سازی حرارتی و اثرات شوک اسمزی، pH بالا و پایین و مواد شوینده یا آلی و در نهایت آنالیزهای ژنومی دریافتند که این فاژها به خانواده‌های Siphoviridae و Podoviridae تعلق دارند (۲۵) در مطالعه حاضر، به دلیل کمبود بودجه، ما فقط ارزیابی مورفولوژی و بیوس و پلاک را انجام دادیم که باید با آزمایش‌های بیشتری تأیید شود.

در تحقیق دیگری، Askora و همکاران (۲۰۱۵) باکتریوفاژ لیتیک را به عنوان کنترل بیولوژیکی برای برخی از سویه‌های اشتباهی کلی انتروپاتوژنیک و آنتروهموراژیک با خطر ابتلا به انسان و دام در مصر جدا کردند. آنها فائز جدا شده را ØZE1 نامیدند. با استفاده از میکروسکوپ الکترونی تأیید شد که فائز متعلق به خانواده Siphoviridae است و سبب لیز چهار سویه *E. coli* می‌شود. همچنین، اثر گرمای pH و کلروفرم بر فائز جدا شده ارزیابی و تجزیه و تحلیل ژنومی فائز ØZE1 انجام شد (۲۶). در مطالعه حاضر، مشابه مطالعه Askora و همکاران، مبنای اولیه تشخیص فائز بر اساس میکروسکوپ الکترونی بود.

کار دیگری که به وسیله Jamal و همکاران (۲۰۱۵) انجام شد که در آن باکتریوفاژ MJ1 را در برابر اشتباهی کلی

از نمونه‌های فاضلاب مایع جدا شده و برای مطالعات آینده در دسترس هستند.

سپاسگزاری

این کار با کمک هزینه دانشگاه شهرکرد پشتیبانی شد
(شماره گرنت: GRD30M180198).

تعارض در منافع

میان نویسنده‌گان هیچ‌گونه تعارضی در منافع گزارش نشده است.

Reference

1. Abuladze T, Li M, Menetrez MY, Dean T, Senecal A, Sulakvelidze A. Bacteriophages reduce experimental contamination of hard surfaces, tomato, spinach, broccoli, and ground beef by *Escherichia coli* O157:H7. *Applied and Environmental Microbiology*. 2008;74(20):6230. [\[DOI:10.1128/AEM.01465-08\]](https://doi.org/10.1128/AEM.01465-08) [\[PMID\]](#) [\[PMCID\]](#)
2. Sadekuzzaman M, Yang S, Mizan MFR, Ha SD. Reduction of *Escherichia coli* O157: H7 in biofilms using bacteriophage BPECO 19. *Journal of food science*. 2017;82(6):1433-1442. [\[DOI:10.1111/1750-3841.13729\]](https://doi.org/10.1111/1750-3841.13729) [\[PMID\]](#)
3. Ackers M-L, Mahon BE, Leahy E, Goode B, Damrow T, Hayes PS, et al. An outbreak of *Escherichia coli* O157: H7 infections associated with leaf lettuce consumption. *Journal of Infectious Diseases*. 1998;177(6):1588-1593. [\[DOI:10.1086/515323\]](https://doi.org/10.1086/515323) [\[PMID\]](#)
4. Bell BP, Goldoft M, Griffin PM, Davis MA, Gordon DC, Tarr PI, et al. A multistate outbreak of *escherichia coli* o157: h7-associated bloody diarrhea and hemolytic uremic syndrome from hamburgers: the washington experience. *Jama*. 1994;272(17):1349-1353. [\[DOI:10.1001/jama.1994.03520170059036\]](https://doi.org/10.1001/jama.1994.03520170059036) [\[PMID\]](#)
5. Hilborn ED, Mermin JH, Mshar PA, Hadler JL, Voetsch A, Wojtkunski C, et al. A multistate outbreak of *Escherichia coli* O157: H7 infections associated with consumption of mesclun lettuce. *Archives of Internal Medicine*. 1999;159(15):1758-1764. [\[DOI:10.1001/archinte.159.15.1758\]](https://doi.org/10.1001/archinte.159.15.1758) [\[PMID\]](#)
6. Keene WE, Hedberg K, Herriott DE, Hancock DD, McKay RW, Barrett TJ, et al. A prolonged outbreak of *Escherichia coli* O157: H7 infections caused by commercially distributed raw milk. *Journal of Infectious Diseases*. 1997;176(3):815-818. [\[DOI:10.1086/517310\]](https://doi.org/10.1086/517310) [\[PMID\]](#)
7. Rangel JM, Sparling PH, Crowe C, Griffin PM, Swerdlow DL. Epidemiology of *Escherichia coli* O157: H7 outbreaks, united states, 1982-2002. *Emerging infectious diseases*. 2005;11(4):603-609. [\[DOI:10.3201/eid1104.040739\]](https://doi.org/10.3201/eid1104.040739) [\[PMID\]](#) [\[PMCID\]](#)
8. Sharma VK, Akavaram S, Schaut RG, Bayles DO. Comparative genomics reveals structural and functional features specific to the genome of a foodborne *Escherichia coli* O157: H7. *BMC genomics*. 2019;20(1):196. [\[DOI:10.1186/s12864-019-5568-6\]](https://doi.org/10.1186/s12864-019-5568-6) [\[PMID\]](#) [\[PMCID\]](#)
9. Guttman B, Raya R, Kutter E, Sulakvelidze A. Bacteriophages: biology and applications. CRC Press: Boca Raton, FL; 2005. p. 29-66. [\[DOI:10.1201/9780203491751.ch3\]](https://doi.org/10.1201/9780203491751.ch3)
10. Clark JR, March JB. Bacteriophages and biotechnology: vaccines, gene therapy and antibacterials. *Trends in biotechnology*. 2006; 24(5): 212-218. [\[DOI:10.1016/j.tibtech.2006.03.003\]](https://doi.org/10.1016/j.tibtech.2006.03.003) [\[PMID\]](#)
11. Sillankorva SM, Oliveira H, Azereedo J. Bacteriophages and their role in food safety. *International journal of microbiology*. 2012;2012. [\[DOI:10.1155/2012/863945\]](https://doi.org/10.1155/2012/863945) [\[PMID\]](#) [\[PMCID\]](#)
12. Verraes C, Van Boxstael S, Van Meervenne E, Van Coillie E, Butaye P, Catry B, et al. Antimicrobial resistance in the food chain: a review. *International journal of environmental research and public health*. 2013;10(7):2643-2669. [\[DOI:10.3390/ijerph10072643\]](https://doi.org/10.3390/ijerph10072643) [\[PMID\]](#) [\[PMCID\]](#)
13. Gould IM, David MZ, Esposito S, Garau J, Lina G, Mazzei T, et al. New insights into meticillin-resistant *Staphylococcus aureus* (MRSA) pathogenesis, treatment and resistance. *International journal of antimicrobial agents*. 2012;39(2):96-104. [\[DOI:10.1016/j.ijantimicag.2011.09.028\]](https://doi.org/10.1016/j.ijantimicag.2011.09.028) [\[PMID\]](#)

جدا شده و برای مطالعات تكمیلی ارزیابی جنبه‌های بیولوژیکی فاژهای جدا شده و کاربردهای بالینی و *in vivo* در دسترس هستند. علاوه بر این، مطالعات بیشتر می‌تواند برای استفاده از پتانسیل بالقوه درمانی و ارزیابی فاژهای جدا شده برای فاکتورهای حدت و توانایی آنها در انتقال ژن مفید باشد.

نتیجه‌گیری

به طور کلی، در مطالعه حاضر، *E. coli* O157: H7 فاژهای Cystiviridae و Myoviridae و Podoviridae متعلق به خانواده‌های

14. Sahin F, Karasartova D, Ozsan TM, Gerceker D, Kiyani M. Identification of a novel lytic bacteriophage obtained from clinical MRSA isolates and evaluation of its antibacterial activity. *Mikrobiyoloji bulteni.* 2013;47(1):27-34. [\[DOI:10.5578/mb.3790\]](#) [\[PMID\]](#)
15. Chibani-Chennoufi S, Sidoti J, Bruttin A, Kutter E, Sarker S, Brüssow H. In vitro and in vivo bacteriolytic activities of *Escherichia coli* phages: implications for phage therapy. *Antimicrobial agents and chemotherapy.* 2004;48(7):2558-2569. [\[DOI:10.1128/AAC.48.7.2558-2569.2004\]](#) [\[PMID\]](#) [\[PMCID\]](#)
16. Tanji Y, Shimada T, Fukudomi H, Miyanaga K, Nakai Y, Unno H. Therapeutic use of phage cocktail for controlling *Escherichia coli* O157: H7 in gastrointestinal tract of mice. *Journal of bioscience and bioengineering.* 2005;100(3):280-287. [\[DOI:10.1263/jbb.100.280\]](#) [\[PMID\]](#)
17. Paul VD, Sundarajan S, Rajagopalan SS, Hariharan S, Kempashanaiah N, Padmanabhan S, et al. Lysis-deficient phages as novel therapeutic agents for controlling bacterial infection. *BMC microbiology.* 2011;11(1):195. [\[DOI:10.1186/1471-2180-11-195\]](#) [\[PMID\]](#) [\[PMCID\]](#)
18. Alam M, Akhter MZ, Yasmin M, Ahsan CR, Nessa J. Local bacteriophage isolates showed anti-*Escherichia coli* O157: H7 potency in an experimental ligated rabbit ileal loop model. *Canadian journal of microbiology.* 2011;57(5):408-415. [\[DOI:10.1139/w11-020\]](#) [\[PMID\]](#)
19. O'flynn G, Ross R, Fitzgerald G, Coffey A. Evaluation of a cocktail of three bacteriophages for biocontrol of *Escherichia coli* O157: H7. *Appl Environ Microbiol.* 2004;70(6):3417-3424. [\[DOI:10.1128/AEM.70.6.3417-3424.2004\]](#) [\[PMID\]](#) [\[PMCID\]](#)
20. Hudson JA, Billington C, Cornelius A, Wilson T, On S, Premaratne A, et al. Use of a bacteriophage to inactivate *Escherichia coli* O157: H7 on beef. *Food microbiology.* 2013;36(1):14-21. [\[DOI:10.1016/j.fm.2013.03.006\]](#) [\[PMID\]](#)
21. Hudson JA, Billington C, Wilson T, On SL. Effect of phage and host concentration on the inactivation of *Escherichia coli* O157: H7 on cooked and raw beef. *Food Science and Technology International.* 2015;21(2):104-109. [\[DOI:10.1177/1082013213513031\]](#) [\[PMID\]](#)
22. Dini C, De Urraza P. Isolation and selection of coliphages as potential biocontrol agents of enterohemorrhagic and Shiga toxin-producing *E. coli* (EHEC and STEC) in cattle. *Journal of applied microbiology.* 2010;109(3):873-887. [\[DOI:10.1111/j.1365-2672.2010.04714.x\]](#) [\[PMID\]](#)
23. Pollard D, Johnson W, Lior H, Tyler S, Rozee K. Rapid and specific detection of verotoxin genes in *Escherichia coli* by the polymerase chain reaction. *Journal of Clinical Microbiology.* 1990;28(3):540-545. [\[DOI:10.1128/JCM.28.3.540-545.1990\]](#) [\[PMID\]](#) [\[PMCID\]](#)
24. Periasamy D, Sundaram A. A novel approach for pathogen reduction in wastewater treatment. *Journal of Environmental Health Science and Engineering.* 2013;11(1):1-9. [\[DOI:10.1186/2052-336X-11-12\]](#) [\[PMID\]](#) [\[PMCID\]](#)
25. Jurczak-Kurek A, Gaśior T, Nejman-Faleńczyk B, Bloch S, Dydecka A, Topka G, et al. Biodiversity of bacteriophages: morphological and biological properties of a large group of phages isolated from urban sewage. *Scientific reports.* 2016;6(1):1-17. [\[DOI:10.1038/srep34338\]](#) [\[PMID\]](#) [\[PMCID\]](#)
26. Askora A, Merwad A, Gharieb R, Maysa A. A lytic bacteriophage as a biocontrol for some enteropathogenic and enterohemorrhagic *Escherichia coli* strains of zoonotic risk in Egypt. *Rev Med Vet.* 2015;3:76-83.
27. Jamal M, Hussain T, Das CR, Andleeb S. Isolation and characterization of a Myoviridae MJ1 bacteriophage against multi-drug resistant *Escherichia coli* 3. *Jundishapur journal of microbiology.* 2015;8(1):e25917. [\[DOI:10.5812/jjm.25917\]](#) [\[PMID\]](#) [\[PMCID\]](#)
28. Arthur TM, Kalchayanand N, Agga GE, Wheeler TL, Koohmaraie M. Evaluation of bacteriophage application to cattle in lairage at beef processing plants to reduce *Escherichia coli* O157: H7 prevalence on hides and carcasses. *Foodborne pathogens and disease.* 2017;14(1):17-22. [\[DOI:10.1089/fpd.2016.2189\]](#) [\[PMID\]](#)
29. Seo J, Seo DJ, Oh H, Jeon SB, Oh M-H, Choi C. Inhibiting the growth of *Escherichia coli* O157: H7 in beef, pork, and chicken meat using a bacteriophage. *Korean journal for food science of animal resources.* 2016;36(2):186-193. [\[DOI:10.5851/kosfa.2016.36.2.186\]](#) [\[PMID\]](#) [\[PMCID\]](#)